

УДК 62-50

КВАЗИОПТИМАЛЬНОЕ ТОРМОЖЕНИЕ В СОПРОТИВЛЯЮЩЕЙСЯ СРЕДЕ ВРАЩЕНИЙ ТЕЛА С ПОДВИЖНОЙ МАССОЙ, СВЯЗАННОЙ С ТЕЛОМ ДЕМПФЕРОМ С КВАДРАТИЧНЫМ ТРЕНИЕМ¹

© 2018 г. Л. Д. Акуленко, Т. А. Козаченко, Д. Д. Лещенко

Россия, Москва, ИПМех РАН, Украина, Одесса,

Одесская государственная академия строительства и архитектуры

e-mail: kumak@ipmnet.ru, kushpil.t.a@gmail.com, leshchenko_d@ukr.net

Поступила в редакцию 08.05.18 г. После доработки 25.05.18 г.

Исследована задача об оптимальном по быстродействию торможении вращений динамически симметричного твердого тела под действием малого управляющего момента сил в эллипсоидальной области значений с неравными близкими значениями полуосей эллипсоида. Такая задача считается задачей квазиоптимального управления. Предполагается, что тело содержит подвижную массу, соединенную с телом посредством упругой связи с квадратичной диссипацией. Кроме того, на тело извне действует малый тормозящий момент сил линейного сопротивления среды. Задача синтеза квазиоптимального по быстродействию торможения вращений динамически симметричного тела в сопротивляющейся среде исследована аналитически и численно. С помощью методики усреднения по фазе прецессионного движения проведено приближенное решение. Определены качественные свойства квазиоптимального движения, приведены графики.

DOI:10.31857/S000233880002841-4

Введение. Развитие исследований задач динамики и управления движением твердых тел вокруг неподвижной точки состоит в том, что тела не являются абсолютно твердыми, а близки к идеальным моделям. Влияние неидеальностей может быть выявлено на основе методов сингулярных возмущений, усреднения и других асимптотических методов нелинейной механики. Оно сводится к наличию дополнительных слагаемых в динамических уравнениях Эйлера для фиктивного твердого тела. Исследованию движения твердых тел с внутренними степенями свободы посвящены, например, работы [1 – 8].

Аналізу неуправляемых движений твердого тела в среде с сопротивлением уделялось большое внимание [3, 5, 9 – 11]. Проблема управления вращениями «квазитвердых» тел посредством сосредоточенных (приложенных к жесткому корпусу или несущему твердому телу) моментов сил, менее исследована [4, 5, 12].

Рассматривается задача квазиоптимального (близкого к оптимальному) торможения вращений динамически симметричного твердого тела с подвижной точечной массой, прикрепленной к точке на оси симметрии. Считается, что при относительном движении на точку действует возвращающаяся упругая сила и сила сопротивления, пропорциональная квадрату скорости (квадратичное трение). На тело также действует тормозящий момент сил линейного сопротивления среды.

1. Построение модели. Рассматриваются управляемые вращательные движения динамически симметричного твердого тела, соединенного в точке на оси симметрии с подвижной массой относительно малых линейных размеров посредством упругой связи с квадратичной диссипацией. Кроме того, на твердое тело действует малый тормозящий момент сил сопротивления среды.

На основании подхода [4] асимптотически приближенные уравнения управляемых вращательных движений в системе координат, связанной с телом (динамические уравнения Эйлера), записываются в виде

¹ Работа выполнена за счет гранта Российского научного фонда (проект 16-11-10343).

$$\dot{\mathbf{G}} + \boldsymbol{\omega} \times \mathbf{G} = \mathbf{M}^u + \mathbf{M}^v + \mathbf{M}^r. \quad (1.1)$$

Здесь \mathbf{M}^u – вектор управляющего внешнего момента сил, \mathbf{M}^v – вектор внутреннего возмущающего момента сил, обусловленный упругостью и квадратичным трением демпфера, \mathbf{M}^r – момент сил сопротивления среды [9 – 11]. Вектор $\mathbf{G} = \mathbf{J}\boldsymbol{\omega}$ – кинетический момент тела, где $\mathbf{J} = \text{diag}(A_1, A_1, A_3)$ – постоянный тензор инерции невозмущенного тела, $\boldsymbol{\omega} = (p, q, r)$ – вектор угловой скорости, определяемый его проекциями на связанные оси. Модуль кинетического момента тела имеет вид

$$G = |\mathbf{G}| = [A_1^2(p^2 + q^2) + A_3^2r^2]^{1/2} \equiv [A_1^2\omega_{\perp}^2 + A_3^2r^2]^{1/2}, \quad A_1 \neq A_3, \quad \omega_{\perp}^2 = p^2 + q^2.$$

Величина управляющего момента сил предполагается малой порядка ε . Компоненты управляющего момента сил представлены в виде произведений $b_i u_i$, $i = 1, 2, 3$ [4, 13]:

$$M_i^u = b_i u_i, \quad u_i = -G_i G^{-1}, \quad i = 1, 2, 3, \quad |\mathbf{u}| \leq 1. \quad (1.2)$$

где постоянные выражения b_i имеют размерность момента силы и достаточно близки, они характеризуют эффективность системы управления по каждой из связанных осей, u_i – безразмерные управляющие функции, подлежащие определению.

С целью упрощения решения задачи оптимального управления в систему (1.1) внесено структурное ограничение. Считается, что момент сил сопротивления среды пропорционален кинетическому моменту тела [3, 9, 10]

$$\mathbf{M}^r = -\lambda \mathbf{J}\boldsymbol{\omega}, \quad (1.3)$$

где λ – некоторый постоянный коэффициент пропорциональности, зависящий от свойств среды и формы тела и имеющий размерность угловой скорости.

Приближенная система уравнений управляемого движения (1.1) в проекциях на главные центральные оси инерции тела с учетом (1.2), (1.3) имеет вид [2-5, 9, 10, 13]

$$\begin{aligned} A_1 \dot{p} + (A_3 - A_1)qr &= -b_1 A_1 p G^{-1} + FG^2 qr + Spr^6 \omega_{\perp} - \lambda A_1 p, \\ A_1 \dot{q} + (A_1 - A_3)pr &= -b_2 A_1 q G^{-1} - FG^2 pr + Sqr^6 \omega_{\perp} - \lambda A_1 q, \\ A_3 \dot{r} &= -b_3 A_3 r G^{-1} - A_1 A_3^{-1} S r^5 \omega_{\perp}^3 - \lambda A_3 r, \quad 0 < A_3 \leq 2A_1, \quad A_3 \neq A_1. \end{aligned} \quad (1.4)$$

Отметим, что при $b_1 = b_2 = b_3 = b$, где параметр b может быть функцией времени, управление (1.2) является оптимальным. Если величины b_i близки, то указанный закон будет квазиоптимальным. Введенные в (1.4) обозначения F, S выражаются через параметры системы следующим образом [2, 3]:

$$F = m\rho^2 \Omega^{-2} A_1^{-3} A_3, \quad S = m\rho^3 \Lambda \Omega^{-3} d |d| A_1^{-4} A_3^4, \quad d = 1 - A_3 A_1^{-1}. \quad (1.5)$$

Коэффициенты F, S характеризуют моменты сил, обусловленные наличием упругого элемента. Здесь m – масса подвижной точки, ρ – радиус-вектор точки крепления подвижной массы, которая находится на оси динамической симметрии данного тела. Постоянные $\Omega^2 = c/m$, $\lambda_1 = \mu/m = \Lambda \Omega^3$, $\Omega \gg \omega_0$ определяют частоту колебаний и скорость их затухания; c – жесткость, μ – коэффициент квадратичного трения, ω_0 – модуль начального значения угловой скорости.

Рассматривается случай, когда коэффициенты связи λ_1 и Ω таковы, что свободные колебания точки, вызванные начальными отклонениями, затухают значительно быстрее, чем тело совершит оборот. Движение твердого тела в этом случае близко к движению Эйлера-Пуансо, а относительные колебания, вынуждаемые этим движением, будут малы.

Неравенство $\Omega \gg \omega_0$ позволяет ввести малый параметр в (1.5) и считать возмущающие моменты малыми с целью применения метода усреднения. При этом возможность начального переходного процесса не исключается.

Ставится задача квазиоптимального по быстрдействию торможения вращений:

$$\omega(T) = 0, T \rightarrow \min_{|u| \leq 1} \tag{1.6}$$

Параметры b_i предполагаются близкими ($b_i \approx b, |b_i - b| \ll b$).

2. Асимптотический подход к решению задачи квазиоптимального торможения. Вначале обезразмерим задачу. Для определенности выбираем момент инерции тела относительно оси $x_1 - A_1 = A_2$ и величину порядка начальной скорости ω_0 в качестве характерных параметров рассматриваемой задачи. Введем безразмерные коэффициенты инерции $\tilde{A}_i = A_i/A_1$ и безразмерное время $\tau = \omega_0 t$.

Система (1.4) примет вид

$$\begin{aligned} \frac{d\tilde{p}}{d\tau} &= -(\tilde{A}_3 - 1)\tilde{q}\tilde{r} - \varepsilon \frac{\tilde{b}_1\tilde{p}}{\tilde{G}} + \varepsilon\tilde{F}\tilde{G}^2\tilde{q}\tilde{r} + \varepsilon\tilde{S}\tilde{p}\tilde{r}^6\tilde{\omega}_\perp - \varepsilon\tilde{\lambda}\tilde{p}, \\ \frac{d\tilde{q}}{d\tau} &= -(1 - \tilde{A}_3)\tilde{p}\tilde{r} - \varepsilon \frac{\tilde{b}_2\tilde{q}}{\tilde{G}} - \varepsilon\tilde{F}\tilde{G}^2\tilde{p}\tilde{r} + \varepsilon\tilde{S}\tilde{q}\tilde{r}^6\tilde{\omega}_\perp - \varepsilon\tilde{\lambda}\tilde{q}, \\ \frac{d\tilde{r}}{d\tau} &= -\varepsilon \frac{\tilde{b}_3\tilde{r}}{\tilde{G}} - \varepsilon\tilde{S}\tilde{A}_3^{-2}\tilde{r}^5\tilde{\omega}_\perp^3 - \varepsilon\tilde{\lambda}\tilde{r}. \end{aligned} \tag{2.1}$$

Здесь с учетом сделанных допущений введены обозначения:

$$\begin{aligned} \varepsilon\tilde{F} &= m\rho^2\Omega^{-2}A_1^{-1}\tilde{A}_3\omega_0^2, \quad \varepsilon\tilde{S} = m\rho^3\Lambda\Omega^{-3}(1 - \tilde{A}_3)|1 - \tilde{A}_3|A_1^{-1}\tilde{A}_3^4\omega_0^6, \\ \varepsilon\tilde{b}_i &= b_i/A_1\omega_0^2, \quad \varepsilon\tilde{\lambda} = \lambda/\omega_0, \quad \tilde{G} = G/A_1\omega_0, \quad \tilde{A}_1 = \tilde{A}_2 = 1. \end{aligned} \tag{2.2}$$

В дальнейшем будем использовать безразмерные переменные, опуская \sim .

Используем общее порождающее решение системы (2.1) при $\varepsilon = 0$:

$$p = a \cos \psi, \quad q = a \sin \psi, \quad a > 0, \quad r = \text{const} \neq 0. \tag{2.3}$$

Здесь $\psi = (A_3 - 1)\tau + \psi_0$ — фаза колебаний экваториальной составляющей вектора угловой скорости.

Подставим (2.3) в третье уравнение системы (2.1). Для первых двух уравнений (2.1) учитываем, что $a^2 = p^2 + q^2$ и $\dot{a} = \dot{p} \cos \psi + \dot{q} \sin \psi$. Усредним полученную систему уравнений для a и r по фазе ψ . С введением медленного аргумента $\theta = \varepsilon\tau$ после усреднения система примет вид

$$\begin{aligned} a' &= -\frac{a}{2} \left[G^{-1}(b_1 + b_2) - 2Sr^6a + 2\lambda \right], \\ r' &= -r \left(b_3G^{-1} + SA_3^{-2}r^4a^3 + \lambda \right), \quad ' = d/d\theta. \end{aligned} \tag{2.4}$$

Среднее выражений, содержащих множитель F , равно нулю. Отметим, что при $b_1 = b_2 = b_3 = b$ уравнения для a и r интегрируются полностью и данная задача оптимального управления аналитически решена в [5, 12].

3. Приближенный анализ. Исследуем частный случай

$$0.5(b_1 + b_2) = b_3 = b. \quad (3.1)$$

Домножим первое уравнение (2.1) на p , второе – на q , а третье – на $A_3^2 r$ и сложим. Проведя усреднение, получим следующие уравнение:

$$G' = -b - \lambda G. \quad (3.2)$$

Начальное и конечные условия имеют вид

$$G(0) = G^0, \quad G(T, \theta_0, G^0) = 0, \quad T = T(\theta_0, G^0). \quad (3.3)$$

Решение уравнения (3.2) с учетом условий (3.3) записывается следующим образом:

$$G(\theta) = -\frac{b}{\lambda} + \left(G^0 + \frac{b}{\lambda}\right) \exp(-\lambda\theta), \quad \Theta = \frac{1}{\lambda} \ln\left(G^0 \frac{\lambda}{b} + 1\right). \quad (3.4)$$

Заметим, что величина $\Theta \rightarrow \infty$ при $G^0/b \rightarrow \infty$ для различных λ ; в свою очередь $\Theta \rightarrow 0$ при $G^0\lambda/b \rightarrow 0$ (λ - любое) или при $\lambda \rightarrow \infty$.

Для системы (2.4) при условии (3.1) воспользуемся заменой переменных: $r = \eta G$, $a = \alpha G$. В этом случае уравнения системы (2.4) принимают вид

$$\alpha' = S\alpha^2\eta^6 G^7, \quad \eta' = -A_3^{-2} S\alpha^3 \eta^5 G^7. \quad (3.5)$$

Разделим первое уравнение на второе и получим

$$\frac{d\alpha}{d\eta} = -\frac{A_3^2 \eta}{\alpha}.$$

Находим первый интеграл C_1 :

$$\eta^2 = 2C_1 - A_3^{-2} \alpha^2, \quad C_1 = \frac{1}{2} A_3^{-2}. \quad (3.6)$$

Подставим η^2 из (3.6) в первое уравнение системы (3.5):

$$\frac{d\alpha}{d\theta} = S A_3^{-6} G^7 (1 - \alpha^2)^3 \alpha^2, \quad G_0 = 1. \quad (3.7)$$

При подстановке выражения для G (3.4) в уравнение (3.7) для α последнее интегрируется и его решение записывается в виде [14]

$$\begin{aligned}
 & A_3^6 \left[-\frac{1}{\alpha} + \frac{\alpha}{4(1-\alpha^2)^2} + \frac{7\alpha}{8(1-\alpha^2)} + \frac{15}{16} \ln \left| \frac{1+\alpha}{1-\alpha} \right| \right] = \\
 & = S \left[-\frac{b^7}{\lambda^7} \theta - \frac{7b^6}{\lambda^7} b_* \exp(-\lambda\theta) + \frac{21b^5}{2\lambda^6} b_*^2 \exp(-2\lambda\theta) - \right. \\
 & - \frac{35b^4}{3\lambda^5} b_*^3 \exp(-3\lambda\theta) + \frac{35b^3}{4\lambda^4} b_*^4 \exp(-4\lambda\theta) - \frac{21b^2}{5\lambda^3} b_*^5 \exp(-5\lambda\theta) + \\
 & \left. + \frac{7b}{6\lambda^2} b_*^6 \exp(-6\lambda\theta) - \frac{1}{7\lambda} b_*^7 \exp(-7\lambda\theta) \right] + C_2, \tag{3.8} \\
 & b_* = G_0 + \frac{b}{\lambda} = 1 + \frac{b}{\lambda}.
 \end{aligned}$$

Вторая постоянная интегрирования C_2 определяется из начального условия ($\theta=0$, $\alpha=\alpha_0$) и записывается как

$$\begin{aligned}
 C_2 = & \left[-\frac{1}{\alpha_0} + \frac{\alpha_0}{4(1-\alpha_0^2)^2} + \frac{7\alpha_0}{8(1-\alpha_0^2)} + \frac{15}{16} \ln \left| \frac{1+\alpha_0}{1-\alpha_0} \right| \right] A_3^6 - \\
 & - S \left[-\frac{7b^6}{\lambda^7} b_* + \frac{21b^5}{2\lambda^6} b_*^2 - \frac{35b^4}{3\lambda^5} b_*^3 + \frac{35b^3}{4\lambda^4} b_*^4 - \frac{21b^2}{5\lambda^3} b_*^5 + \frac{7b}{6\lambda^2} b_*^6 - \frac{1}{7\lambda} b_*^7 \right].
 \end{aligned}$$

4. Численный расчет. Для решения системы (2.4) были проведены численные исследования для перенормированных начальных условий $G_0=1$, $A_3=1.2$, $a_0=0.35$, $r_0=(1-a_0^2)^{1/2}/A_3$ и двух значений перенормированного коэффициента сопротивления $\lambda=1.2$; 1.8 ; коэффициентов управляющего момента $b_1=1.625$, $b_2=1$, $b_3=1.25$, причем $0.5(b_1+b_2) \neq b_3$, коэффициента $S=1$. Параметры выбраны таким образом, чтобы удовлетворять условиям: $A_3 \leq 2$, $a_0 < r_0$. Для построения графика модуля кинетического момента использовалось выражение $G = |\mathbf{G}| = (a^2 + A_3^2 r^2)^{1/2}$.

На рис. 1, 2 представлены графики изменения функций a , r , G при значениях $\lambda=1.2$ (рис. 1) и $\lambda=1.8$ (рис. 2). Из графиков видно, что при увеличении коэффициента сопротивления торможение твердого тела происходит быстрее (рис. 2). Время торможения в первом расчетном случае равно $T \approx 0.55$, а во втором $T \approx 0.49$.

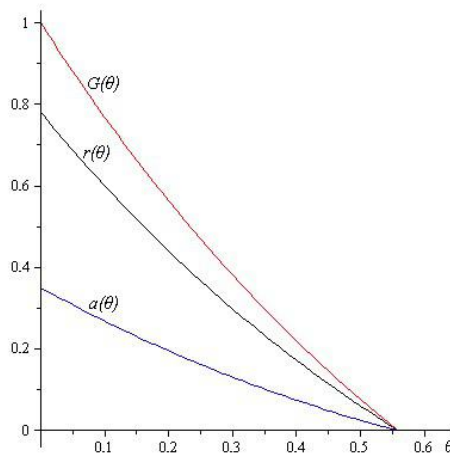


Рис. 1

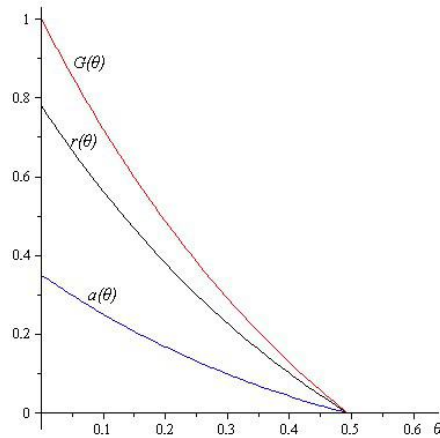


Рис. 2

Заключение. Исследована задача квазиоптимального по быстродействию торможения вращений динамически симметричного твердого тела с подвижной массой, связанной с телом демпфером с квадратичной диссипацией в среде с сопротивлением. В рамках асимптотического подхода получена усредненная система уравнений, для принятых числовых значений безразмерных параметров определены время быстродействия, а также графики изменения кинетического момента и величин a , r экваториальной и осевой компонент вектора угловой скорости квазитвердого тела.

СПИСОК ЛИТЕРАТУРЫ

1. Черноусько Ф.Л. О движении твердого тела с подвижными внутренними массами // Изв. АН СССР. МТТ. 1973. №4. С.33–44.
2. Акуленко Л.Д., Лещенко Д.Д. Некоторые задачи движения твердого тела с подвижной массой // Изв. АН СССР. МТТ. 1978. №5. С.29–34.
3. Chernousko F.L., Akulenko L.D., Leshchenko D.D. Evolution of Motions of a Rigid Body About its Center of Mass. Cham: Springer, 2017. 241p.
4. Акуленко Л.Д. Асимптотические методы оптимального управления. М.: Наука, 1987. 368с.
5. Акуленко Л.Д., Лещенко Д.Д., Рачинская А. Л., Зинкевич Я.С. Возмущенные и управляемые вращения твердого тела. Одесса: Одесский национальный ун-т им. И.И. Мечникова, 2013. 288с.
6. Лурье А.И. Аналитическая механика. М.: Физматгиз, 1961. 824с.
7. Thomson W.T. Introduction to Space Dynamics. N.Y.: Dover, 1986. 317p.
8. Акуленко Л.Д., Лещенко Д.Д., Щетинина Ю.С. Квазиоптимальное торможение вращений твердого тела с подвижной массой в среде с сопротивлением // Изв. РАН. ТиСУ. 2017. №2. С. 16–21.
9. Кошляков В.Н. Задачи динамики твердого тела и прикладной теории гироскопов: Аналитические методы. М.: Наука, 1985. 288 с.
10. Раус Э. Дж. Динамика системы твердых тел. Т. II. М.: Наука, 1983. 544с.
11. Leimanis E. The General Problem of The Motion of Coupled Rigid Bodies about a Fixed Point. Berlin, Heidelberg, N.Y.: Springer, 1965. 337p.
12. Акуленко Л.Д., Рачинская А. Л., Зинкевич Я.С., Лещенко Д.Д. Оптимальное торможение вращений симметричного твердого тела с внутренней степенью свободы в среде с сопротивлением // Вестник Одесск. нац. ун-та. Математика и механика. 2009. Т.14. Вып. 20. С.135–144.
13. Черноусько Ф.Л., Акуленко Л.Д., Соколов Б.Н. Управление колебаниями. М.: Наука, 1980. 384с.
14. Двайт Г.Б. Таблицы интегралов и другие математические формулы. М.: Наука, 1973. 228с.